



共鳴軟X線散乱研究への硬X線領域 からのアプローチと研究展開

Condensed matter research center (CMRC)
Photon Factory, IMSS, KEK

中尾裕則

Outline

- Introduction

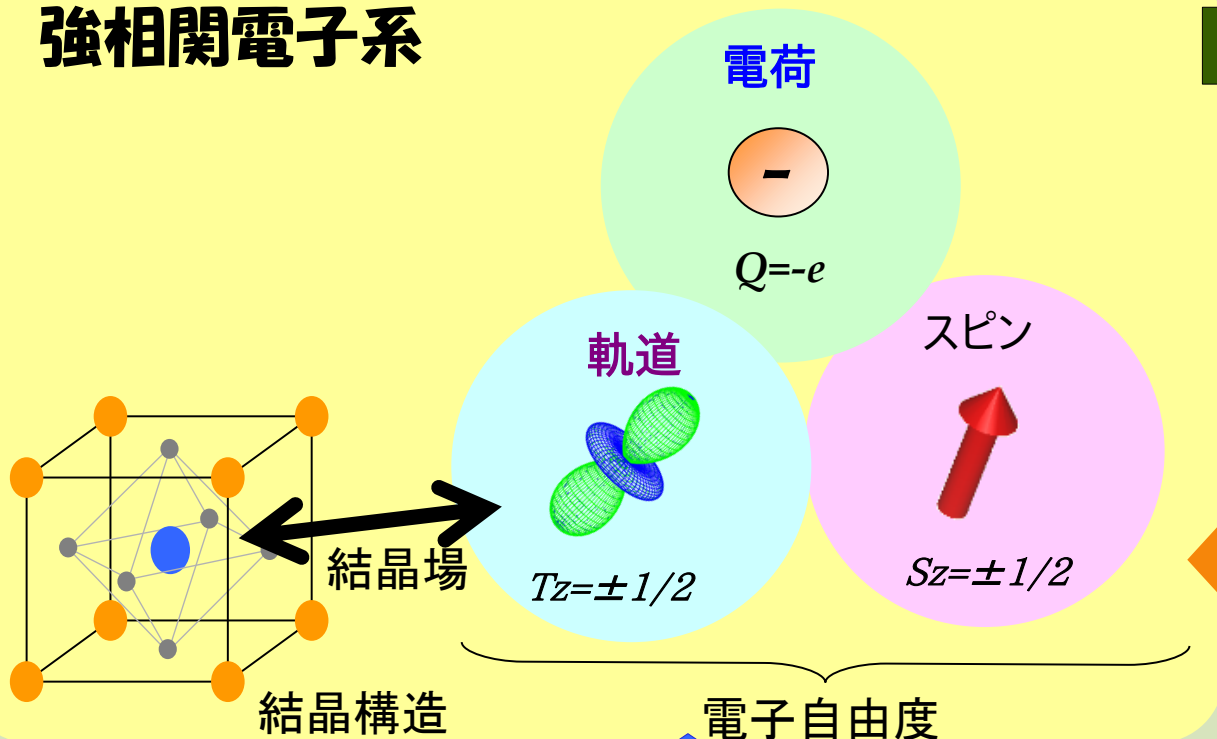
硬X線領域でのRXSとその問題点

- Room Temperature Ferri-magnet: $\text{Sr}_3\text{YCo}_4\text{O}_{10.5}$
- Artificial superlattice: $[(\text{LaMnO}_3)_m(\text{SrMnO}_3)_m]_n$



構造物性研究

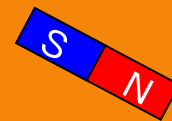
強相関電子系



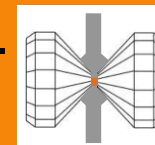
多様な物性の出現

高温超伝導、
巨大磁気抵抗効果、
巨大電気磁気効果、
重い電子系.....

外場応答



温度、圧力、磁場、
電場、光...



共鳴X線散乱 (回折+分光)による、
軌道・電荷・スピン秩序状態の解明



共鳴X線散乱(RXS)

原子散乱因子

$$f = f_0(Q) + \underline{f''(E) + i f'''(E)}$$

異常分散項

吸収端で顕著な変化

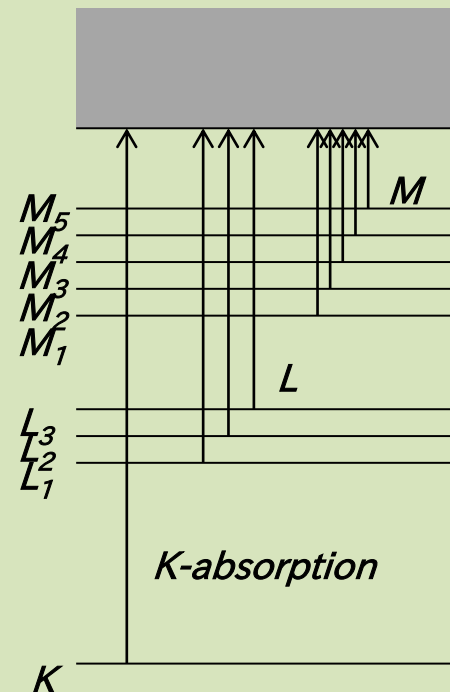
（原子種：
軌道： $K-, L-, M-\dots$ edge）の区別が可能



狙いの原子回りの局所情報

- ・ 吸収端エネルギー - 電荷状態
 - ・ テンソル原子散乱因子 - 配位場
 - ・ スピン
- （軌道状態
共有結合）

X線回折 → 周期性

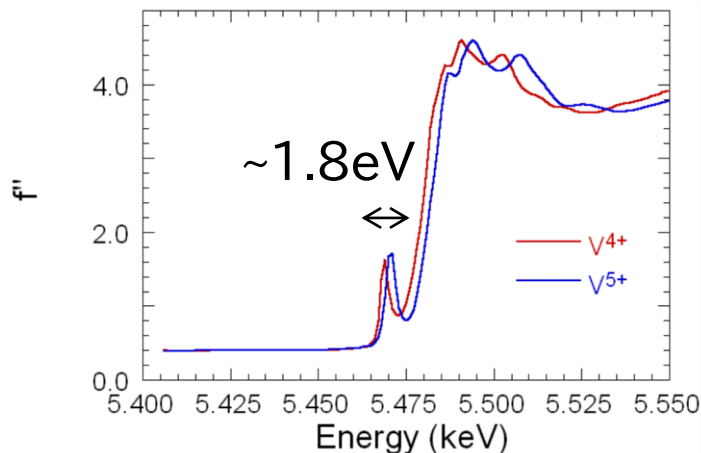
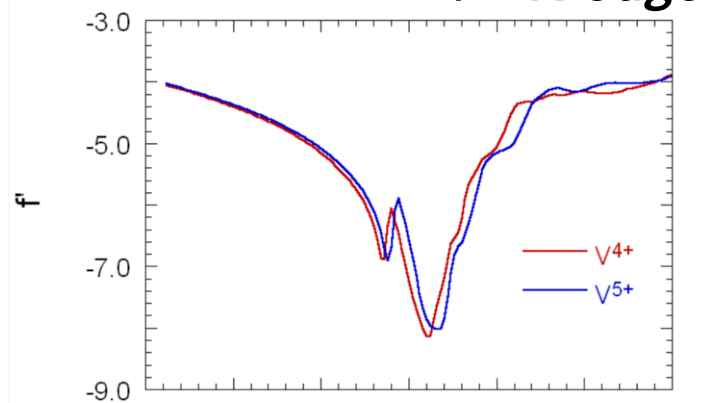




共鳴X線散乱(RXS)

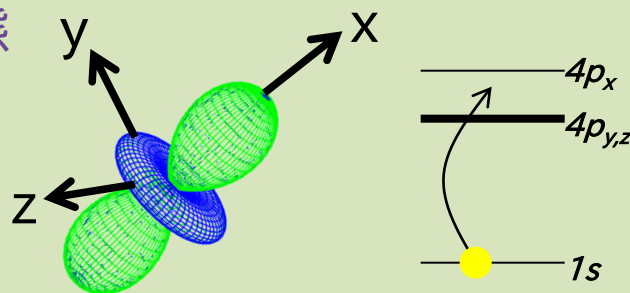
原子散乱因子 $f = f_0(Q) + f''(E) + i f'(E)$

電荷状態 吸収端エネルギー
 V K-edge



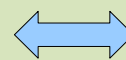
Chemical shift

軌道状態

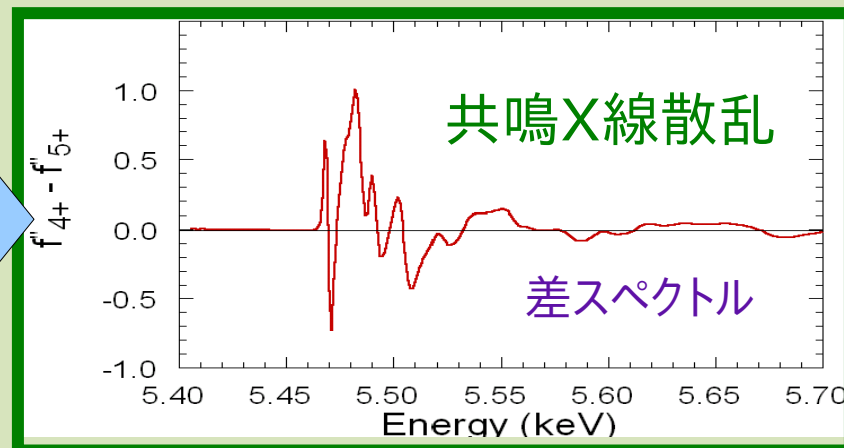
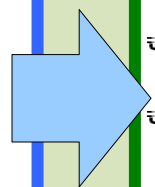


テンソル原子散乱因子

$$f_a = \begin{pmatrix} f_{//} & 0 & 0 \\ 0 & f_{\perp} & 0 \\ 0 & 0 & f_{\perp} \end{pmatrix}$$



偏光
LD



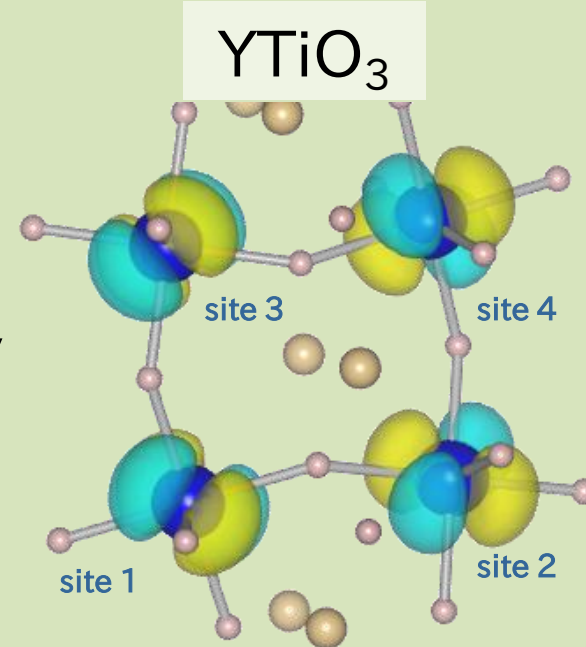
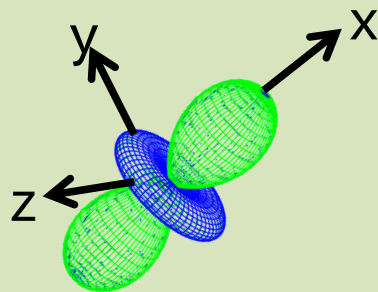
RXS technique

Atomic scattering factor

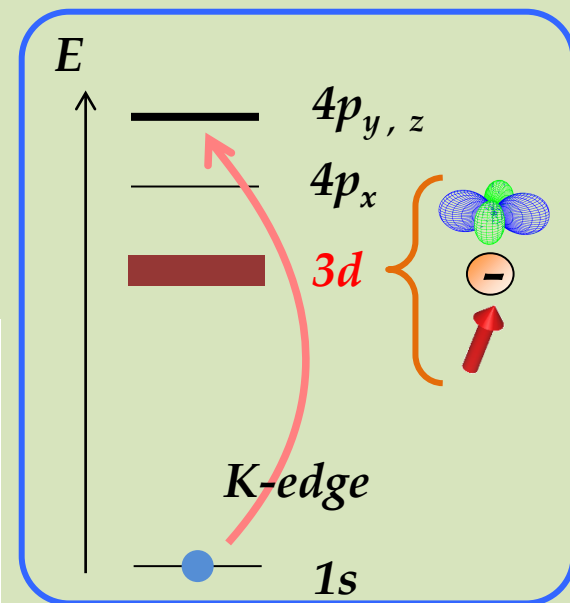
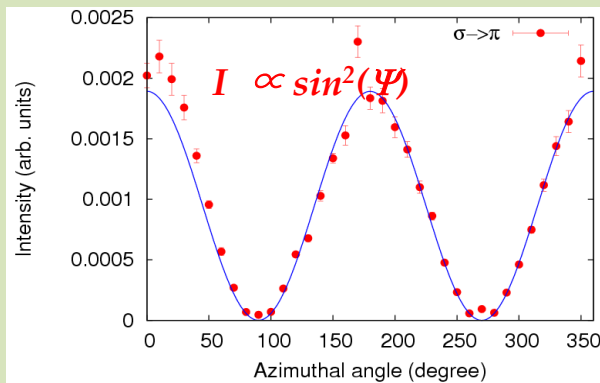
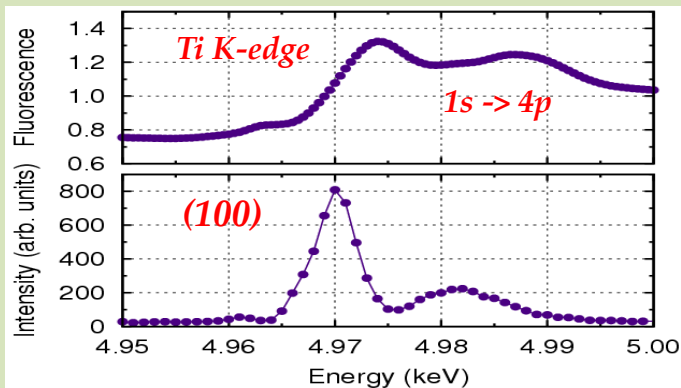
→ **Tensor** near the absorption energy

$$f = f_0(Q) + f' + i f''$$

$$f_a = \begin{pmatrix} f_{//} & 0 & 0 \\ 0 & f_{\perp} & 0 \\ 0 & 0 & f_{\perp} \end{pmatrix}$$



1. Resonant phenomenon at absorption energy
2. Space group × (Observation of forbidden reflection)
3. Azimuthal angle, Polarization dependence



→ **L-edgeでのRXS**

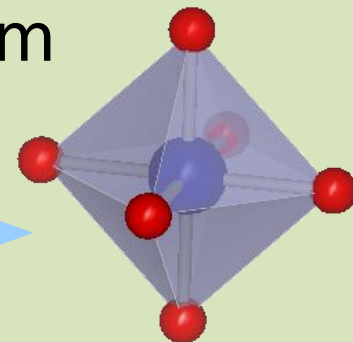


Cobalt system: $Sr_3YCo_4O_{10.5}$

$Co^{3+}(3d^6)$: Spin State degree of freedom

Competition

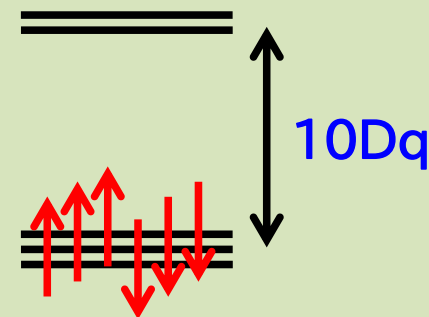
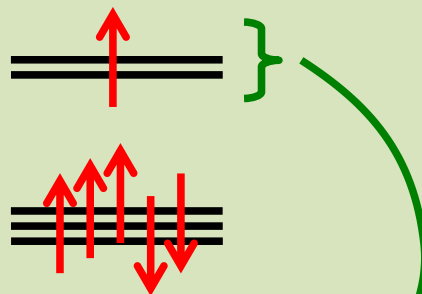
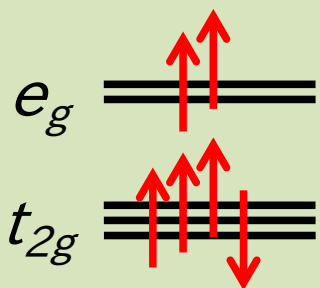
Hund's coupling vs. CEF splitting



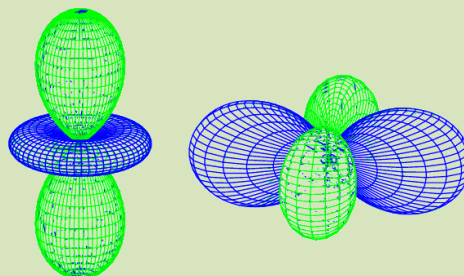
High Spin(HS) state

Intermediate Spin(IS) state

Low Spin(LS) state



Orbital degree of freedom

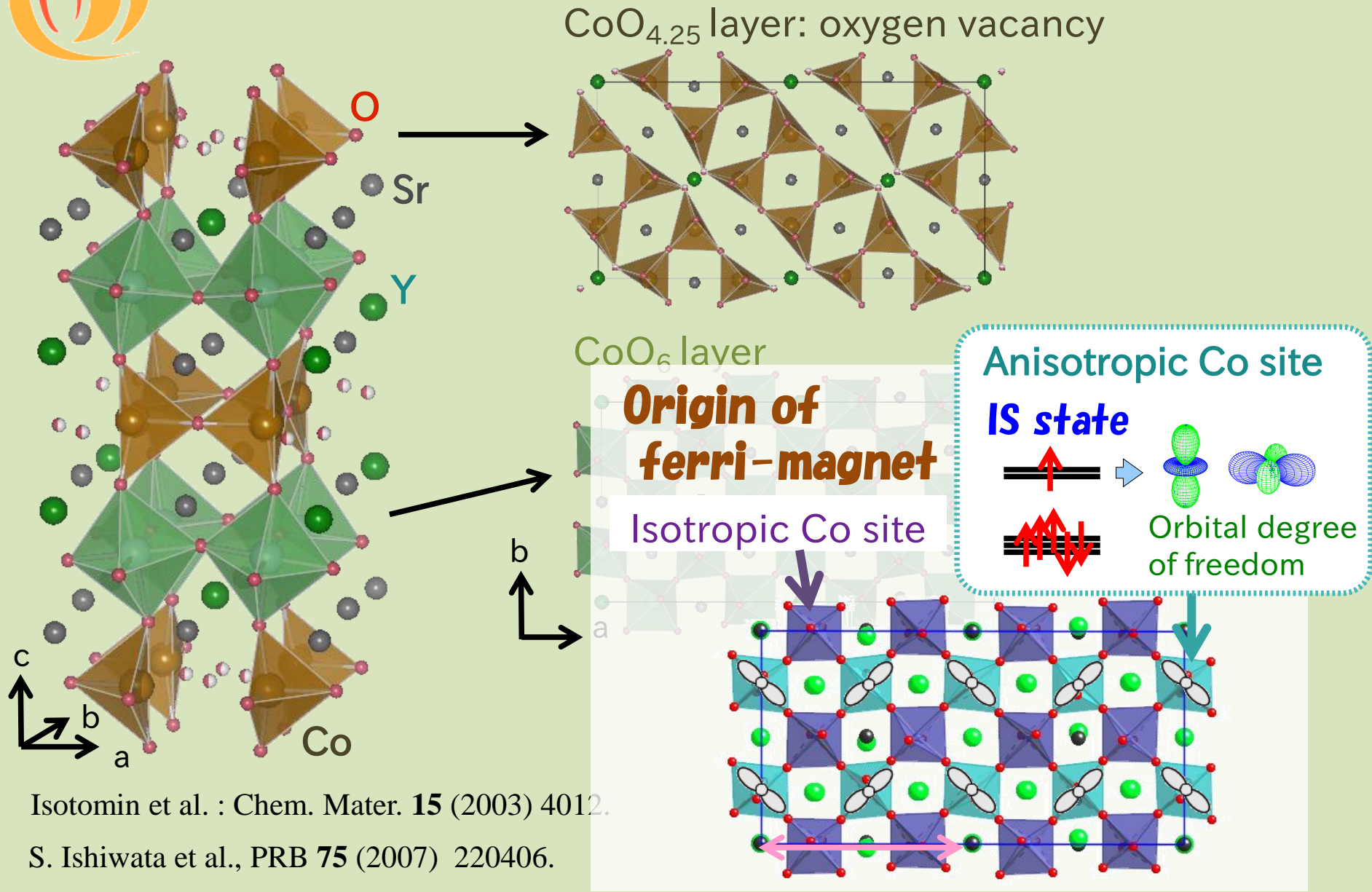


$LaCoO_3$

Room Temperature Ferri-magnet: $Sr_3YCo_4O_{10.5}$



Crystal Structure of $Sr_3YCo_4O_{10.5}$

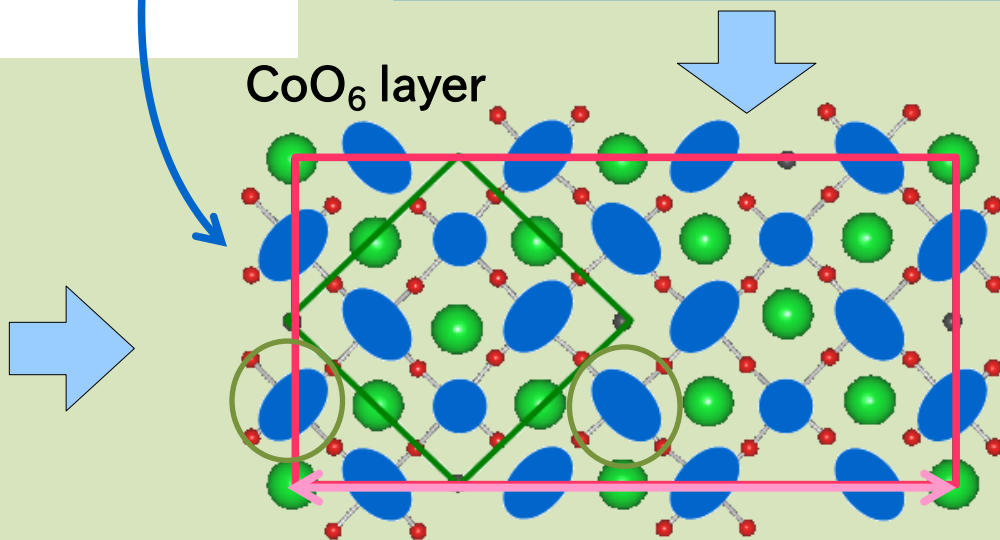
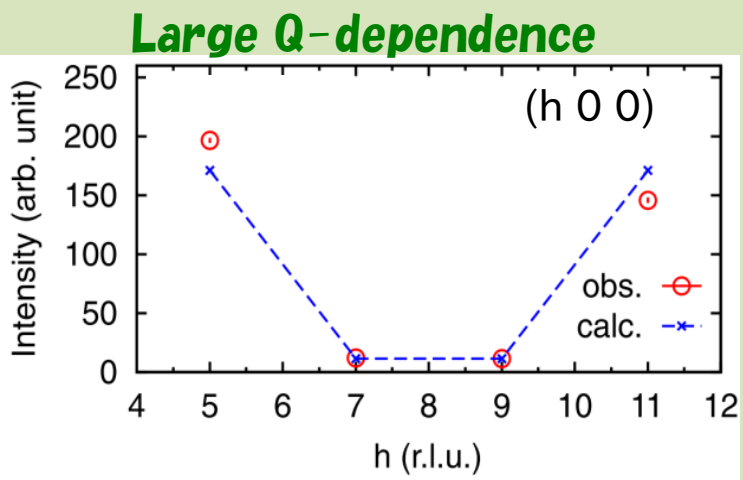
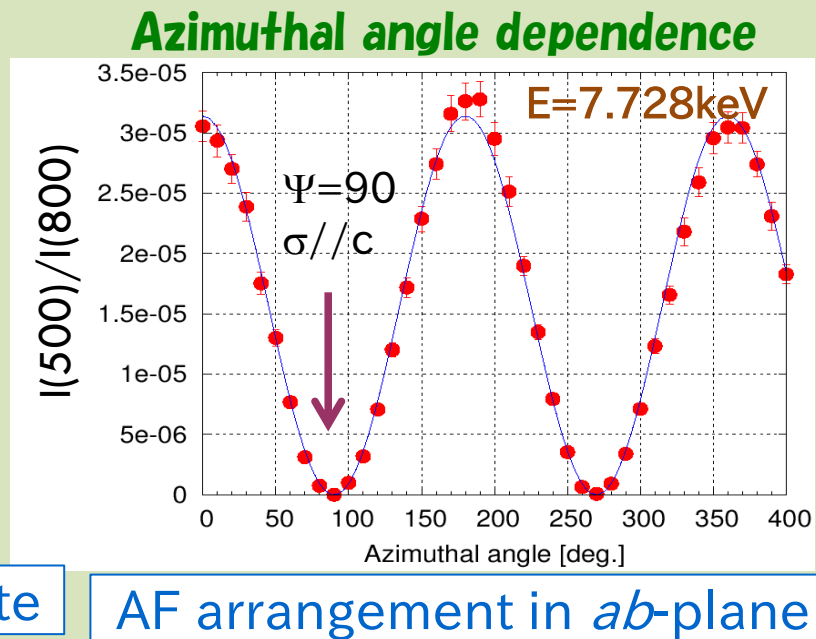
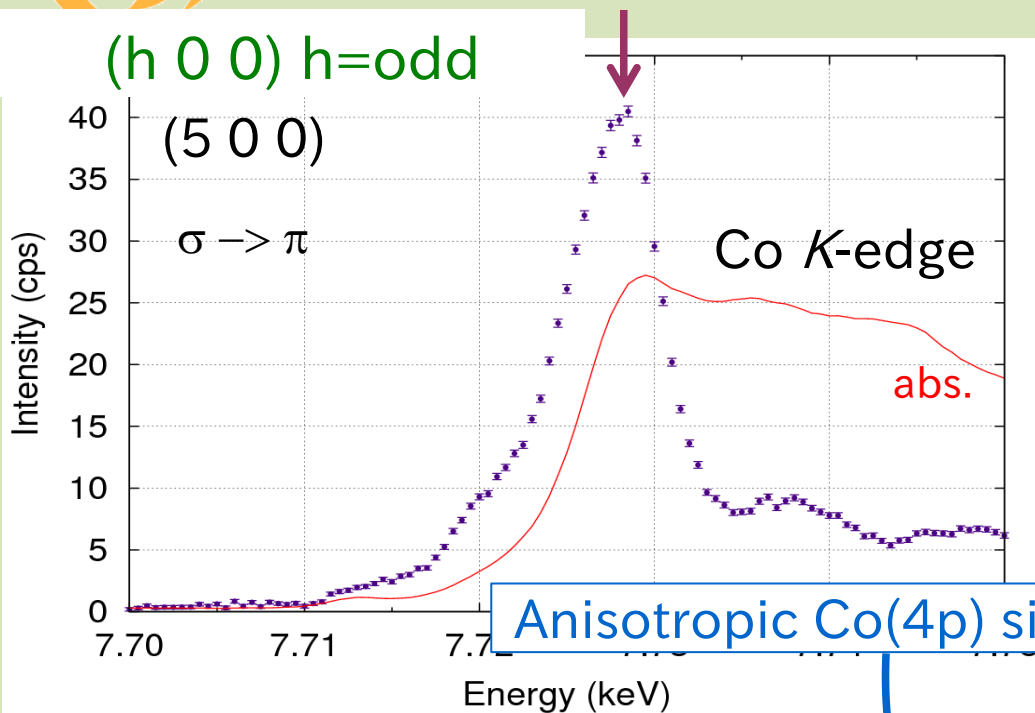


Isotomin et al. : Chem. Mater. **15** (2003) 4012.

S. Ishiwata et al., PRB **75** (2007) 220406.



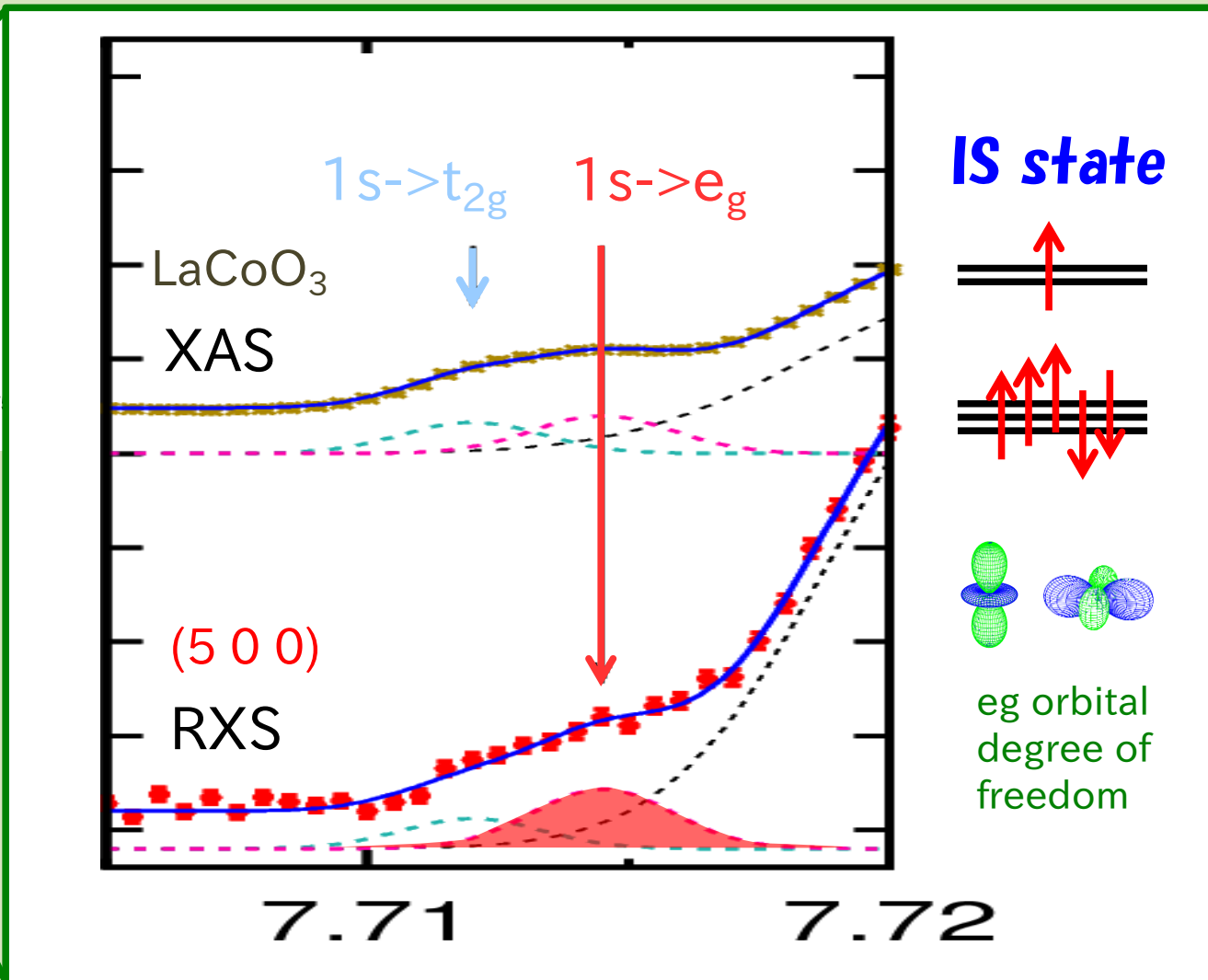
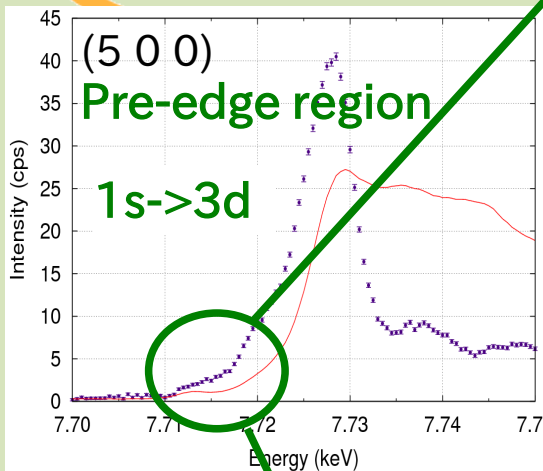
RXS reflecting anisotropy of Co sites





RXS at pre-edge

Orbital ordering: e_g

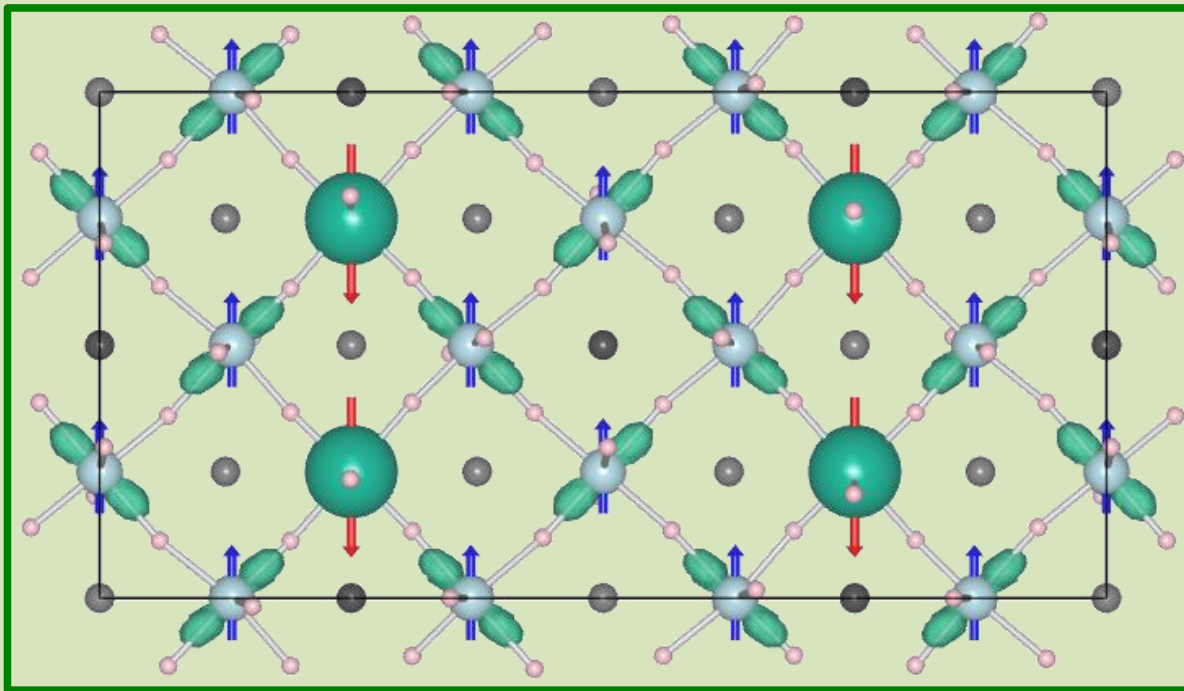


Existence of IS state



Summary: $Sr_3YCo_4O_{10.5}$

Origin of Ferri-magnet at RT in $Sr_3YCo_4O_{10.5}$
Co spin-state and AF- e_g -orbital ordering

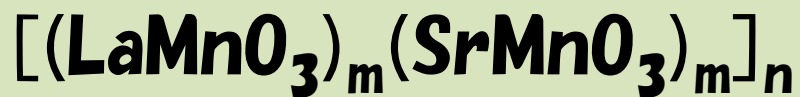


Ferri-magnetic structure

- Resonant soft x-ray scattering
- Neutron magnetic scattering

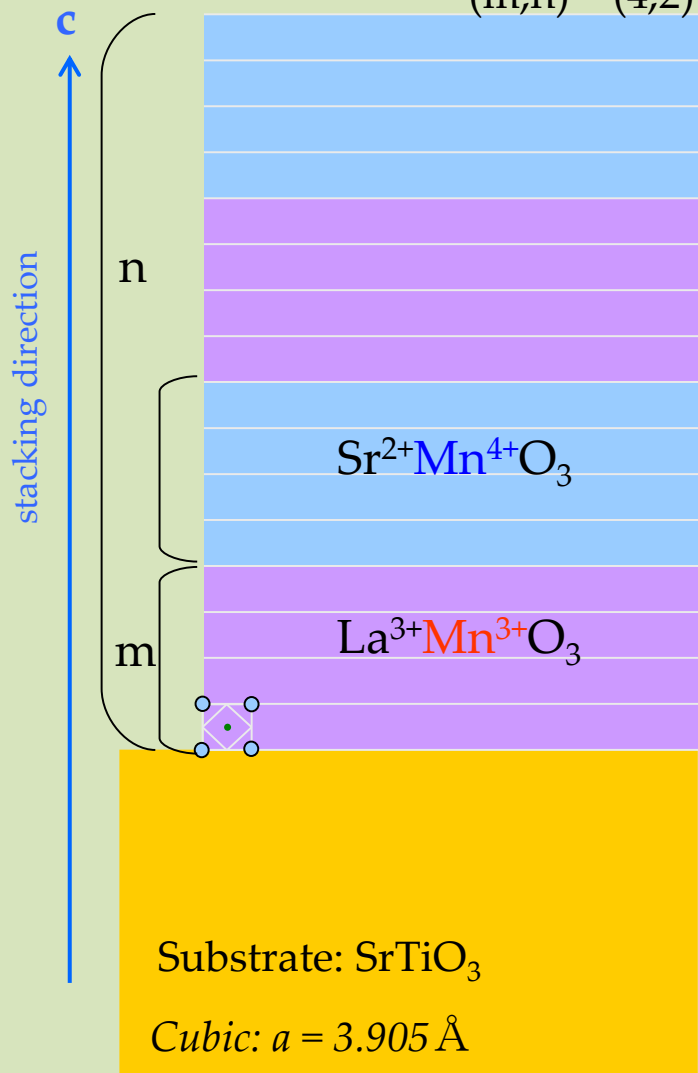


Artificial superlattice:



Perovskite structure

$(m,n) = (4,2)$



$\text{Sr}^{2+}\text{Mn}^{4+}\text{O}_3$ G-type AF

e_g

t_{2g}

Mn^{4+}

Band insulator

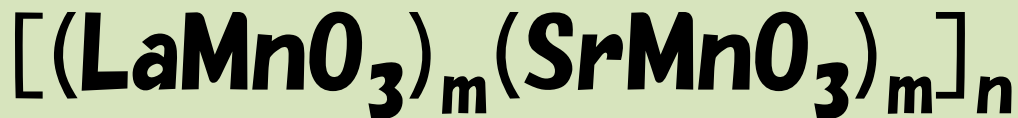
$\text{La}^{3+}\text{Mn}^{3+}\text{O}_3$ A-type AF

e_g

t_{2g}

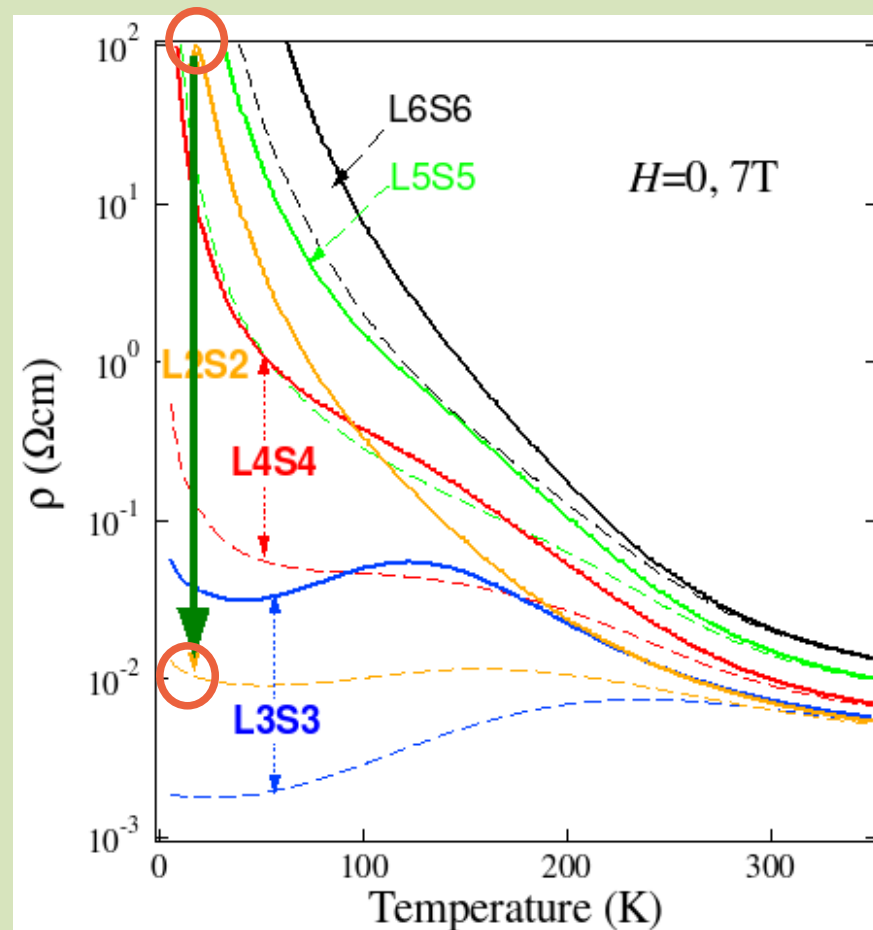
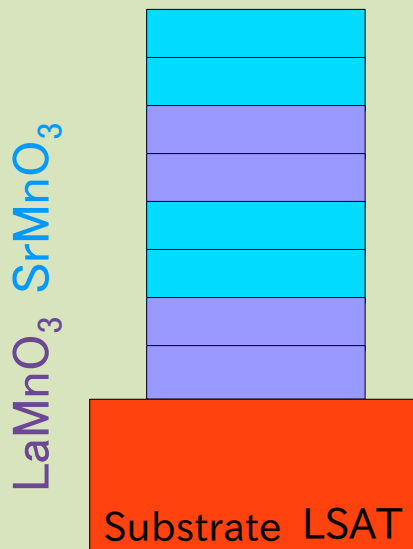
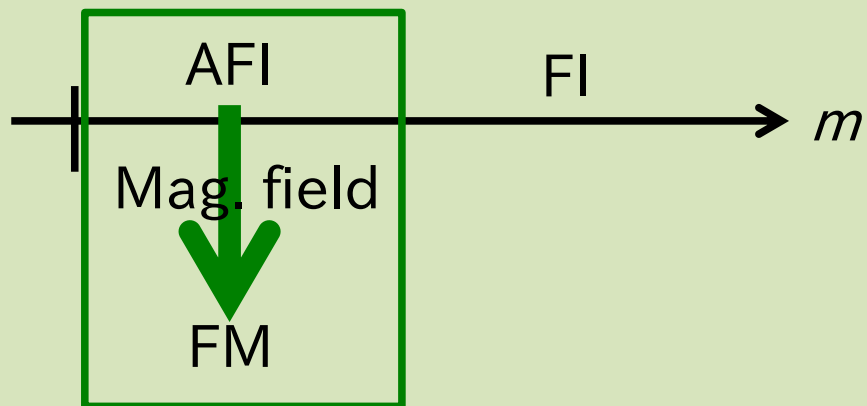
Mn^{3+}

Mott insulator



産総研(山田,澤)

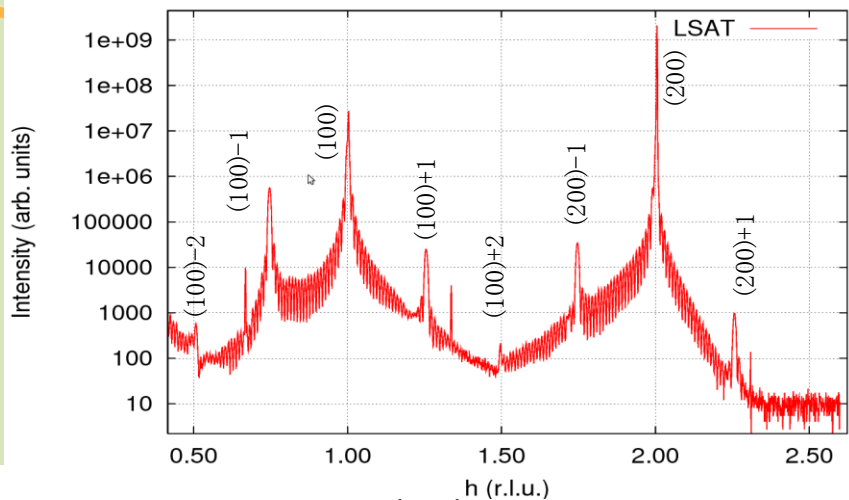
$[(\text{LaMnO}_3)_m(\text{SrMnO}_3)_m]_n$ LSAT



MR at the interface !?



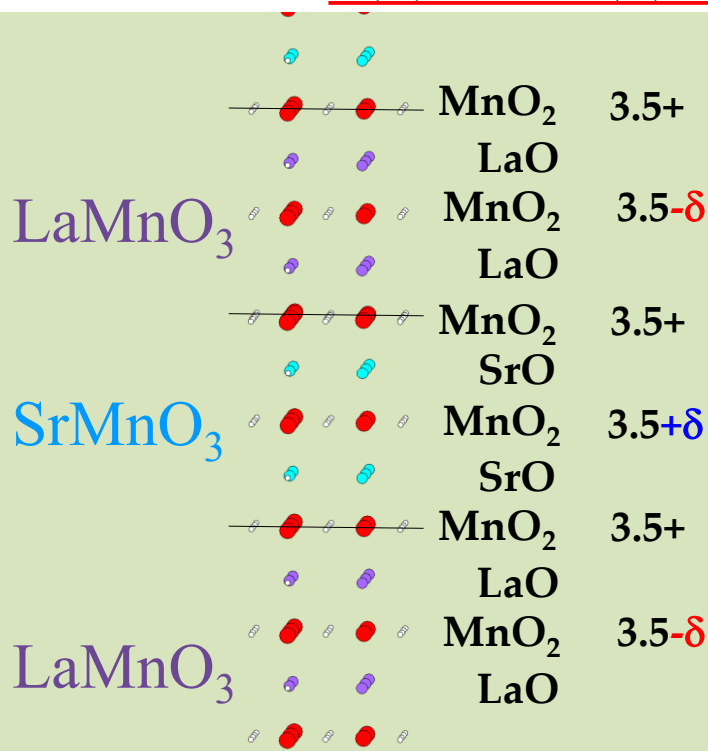
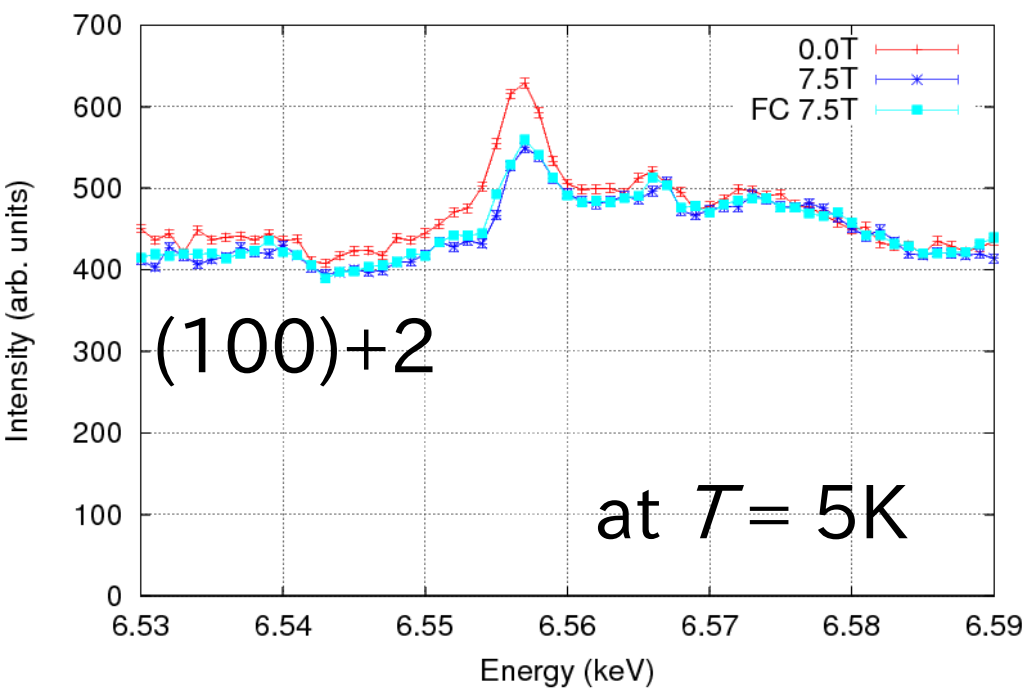
RXS: 電荷, 結晶構造



$$I(E, hkl) = |F(E, hkl)|^2$$

$$F(E, hkl) = \sum_i f_i(E) \exp[-2\pi i(hx_i + ky_i + lz_i)]$$

$$f(E) = f_0 + f'(E) + if''(E)$$



磁気構造?



Collaborator

J. Okamoto, Y. Yamasaki, T. Sudayama, Y. Murakami

Condensed Matter Research Center / Photon Factory, IMSS, KEK

Y. Yamaki, T. Murata *Tohoku University*

W. Kobayashi *Tsukuba University*

S. Ishiwata *The University of Tokyo*

I. Terasaki *Nagoya University*

M. Kubota *Japan Atomic Energy Agency*

H. Yamada, A. Sawa *Nanoelectronics Research Institute, AIST*